

FIG. 1

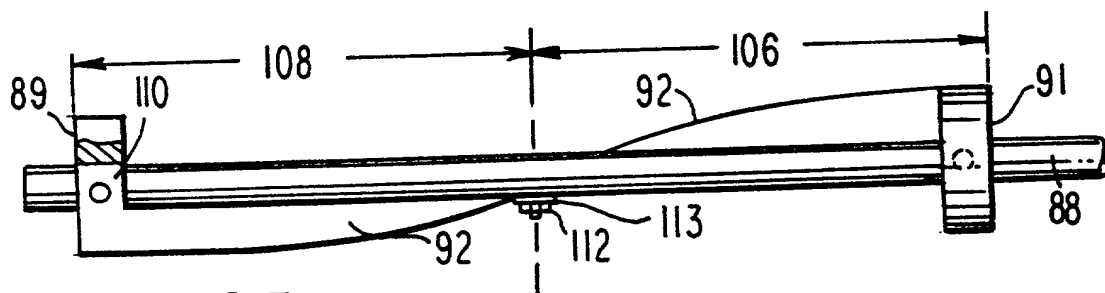


FIG. 5

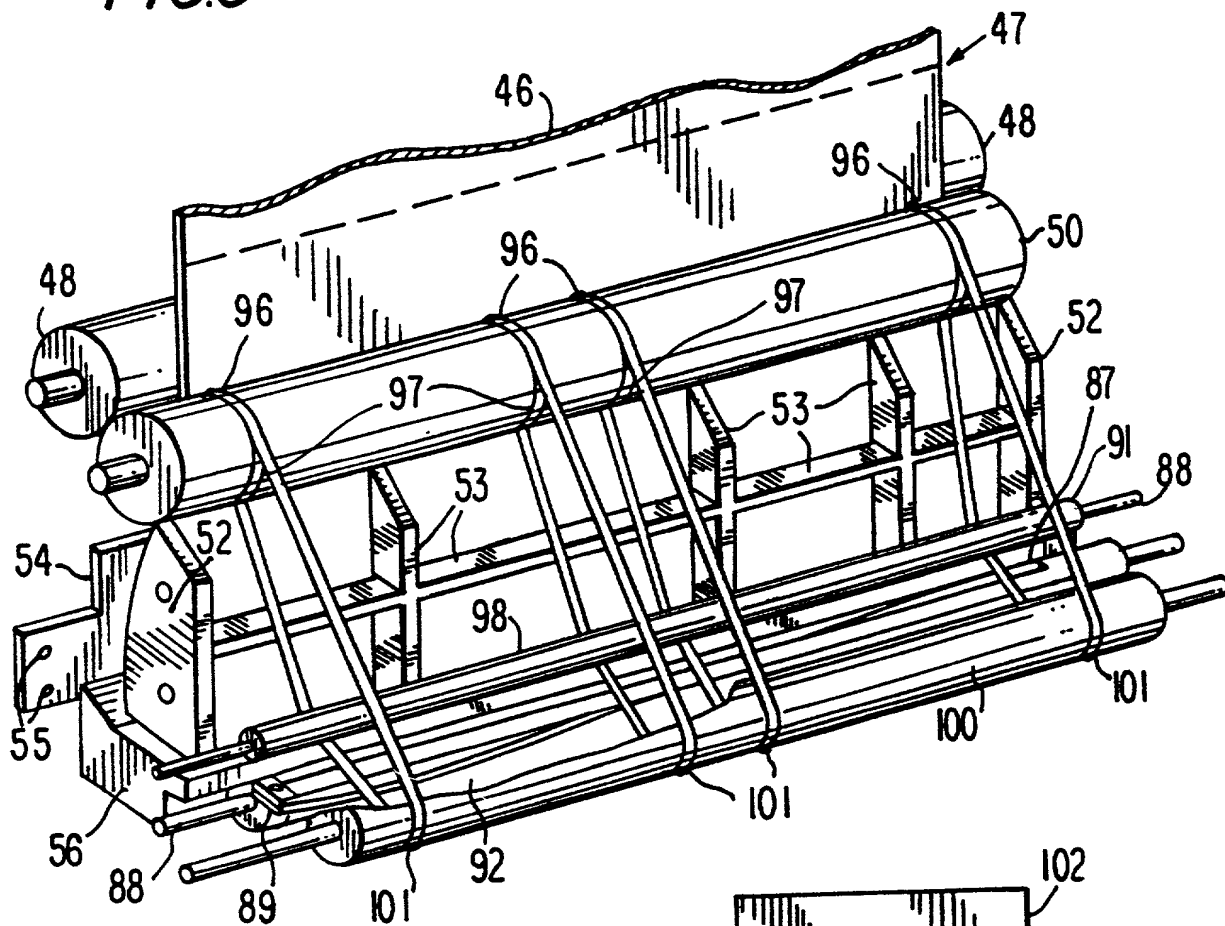


FIG. 3

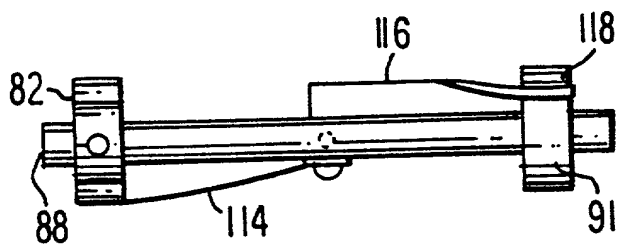


FIG. 6

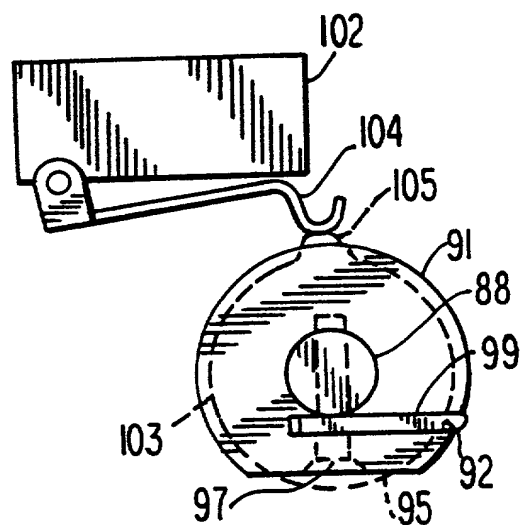


FIG. 4

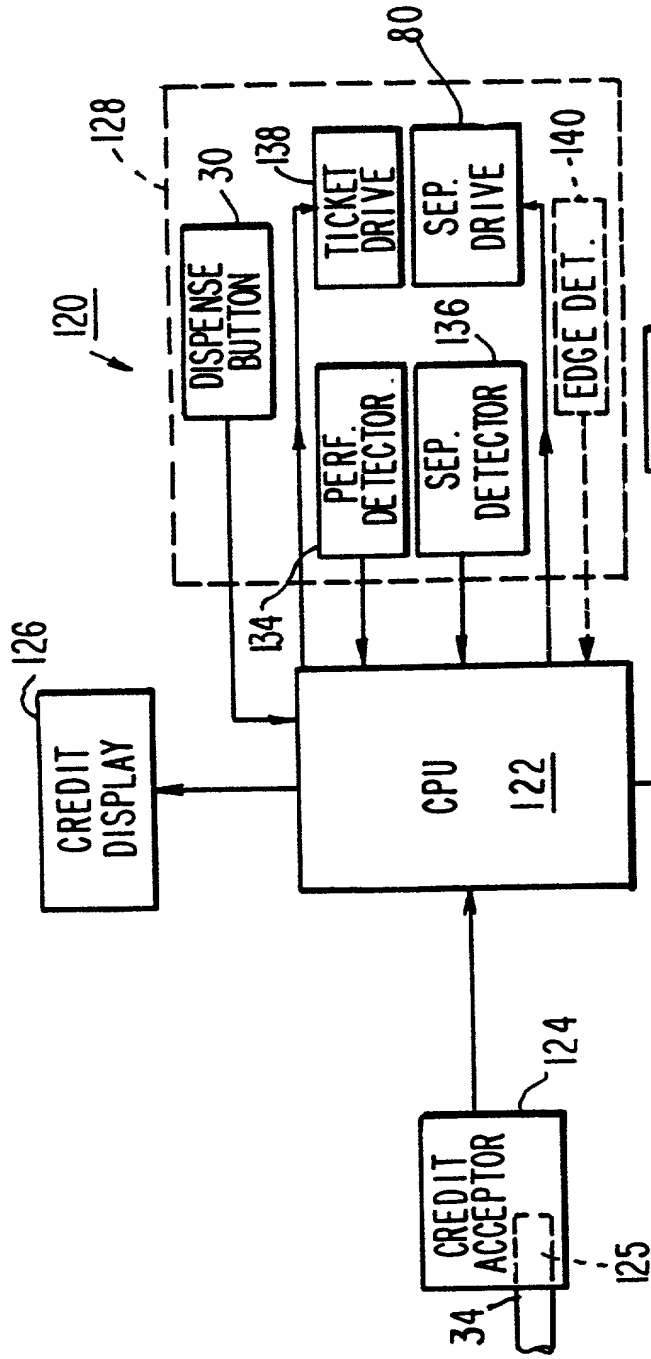
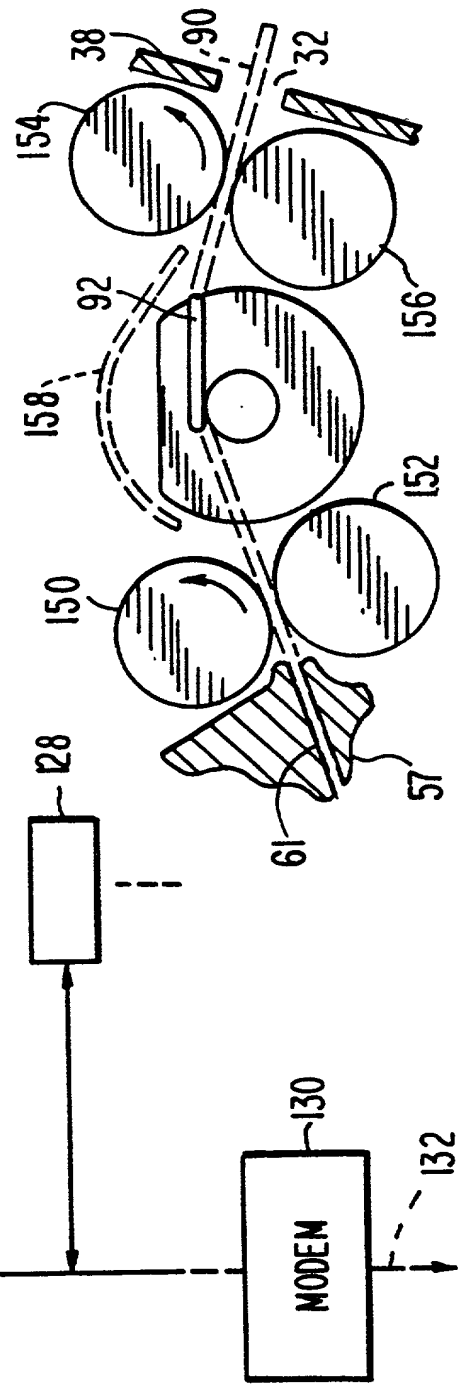
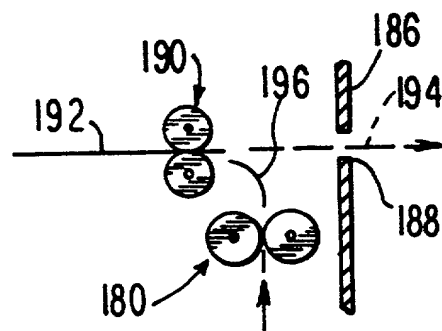
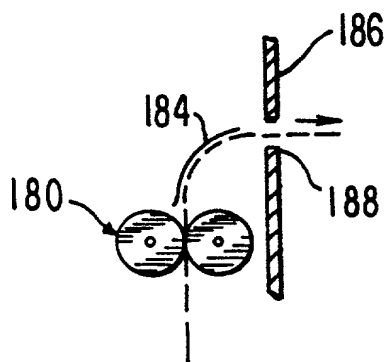
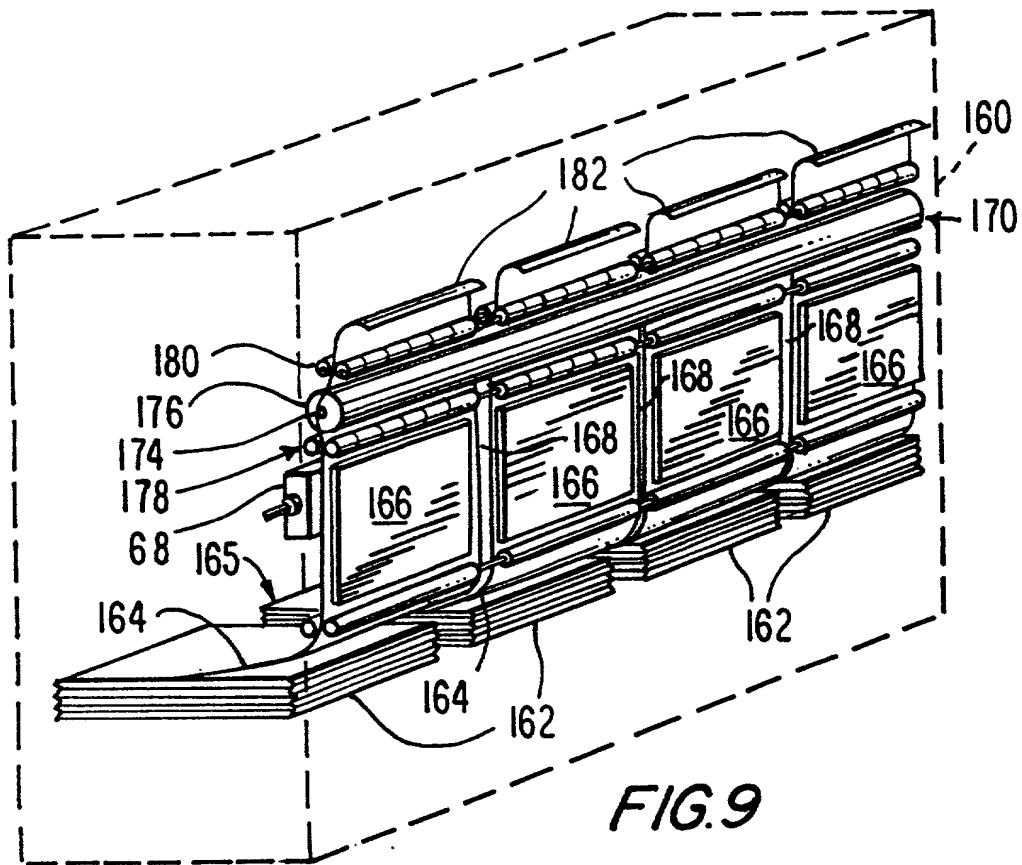


FIG. 8





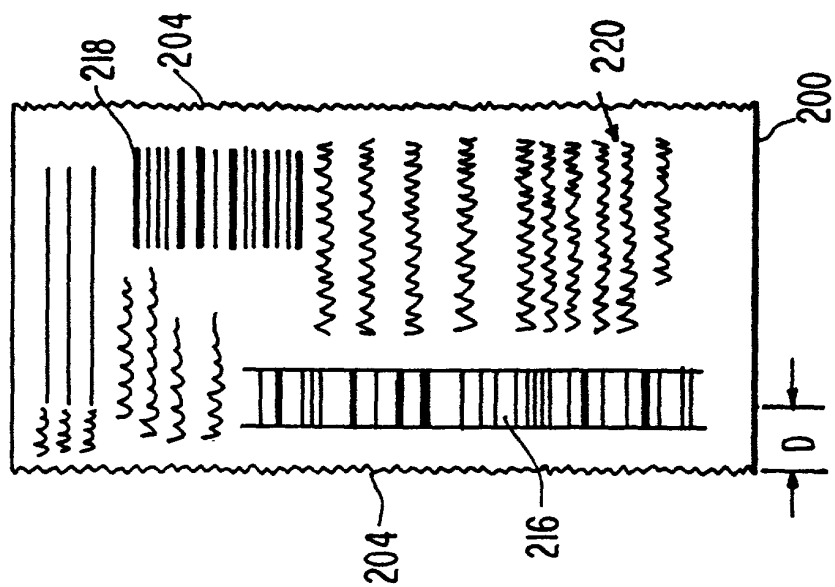


FIG. 12

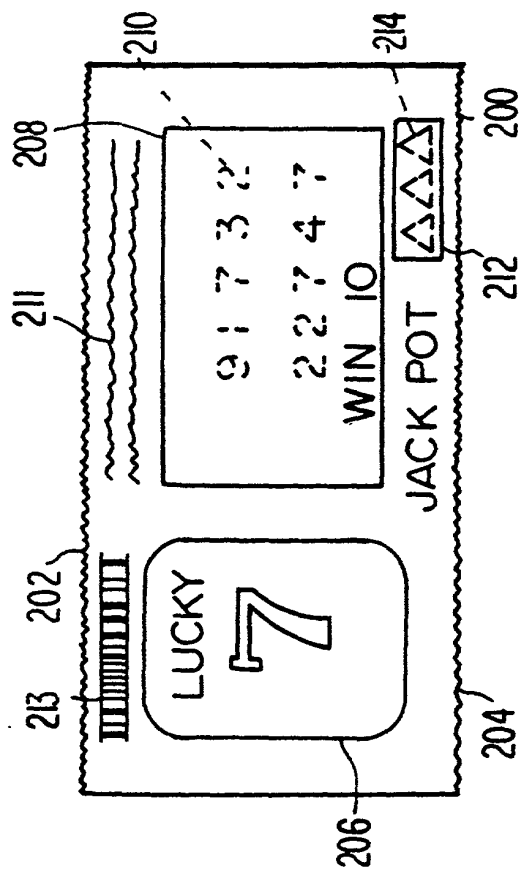


FIG. 13

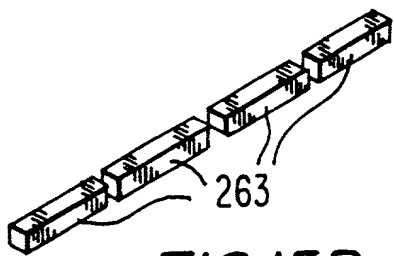


FIG. 15B

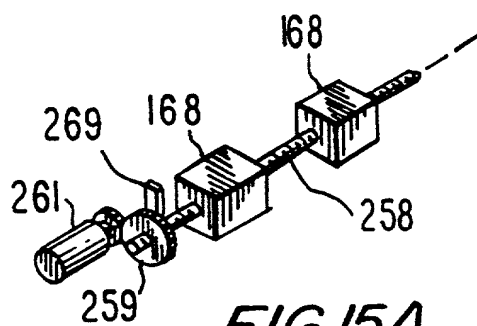


FIG. 15A

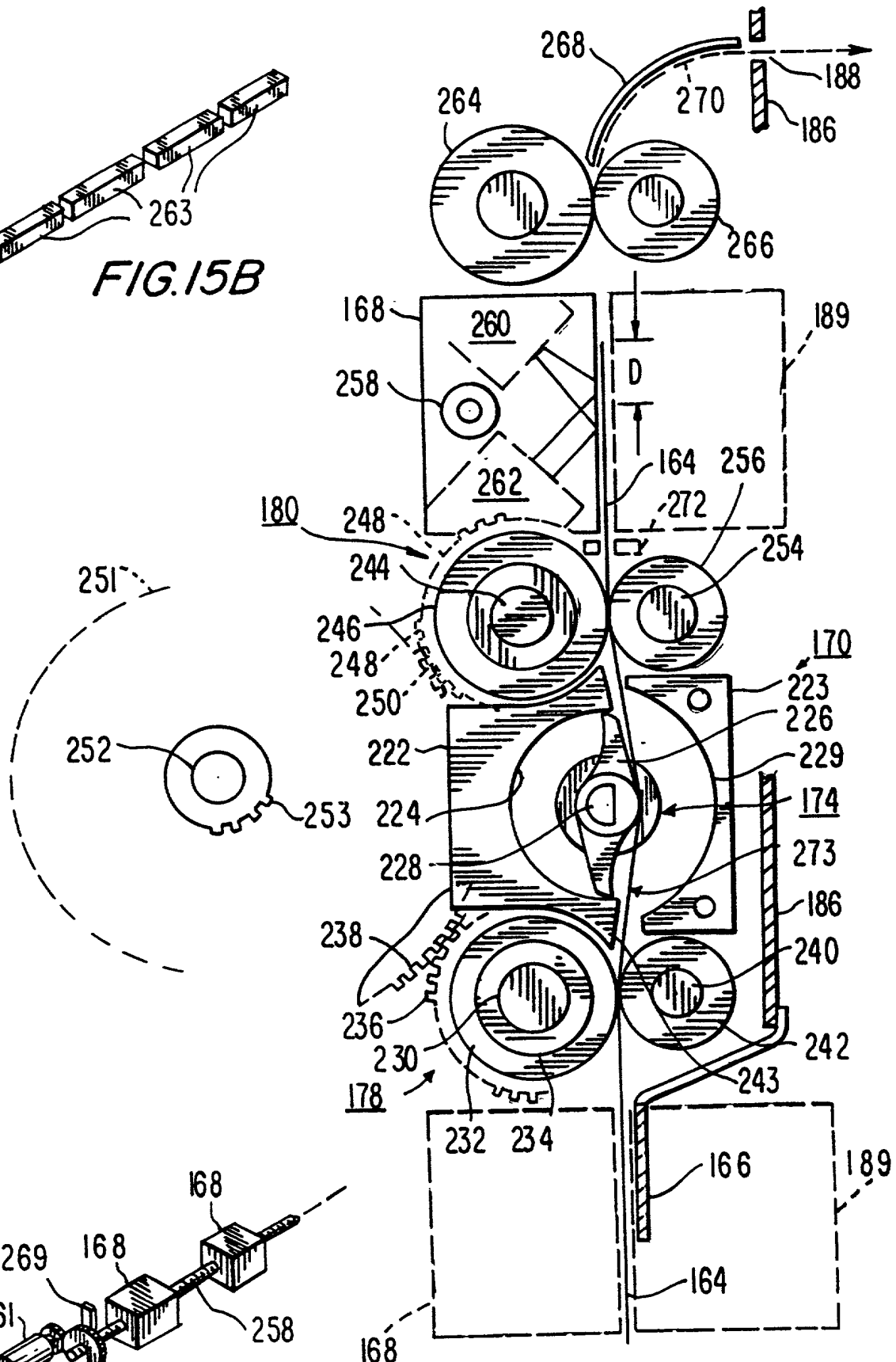


FIG. 14

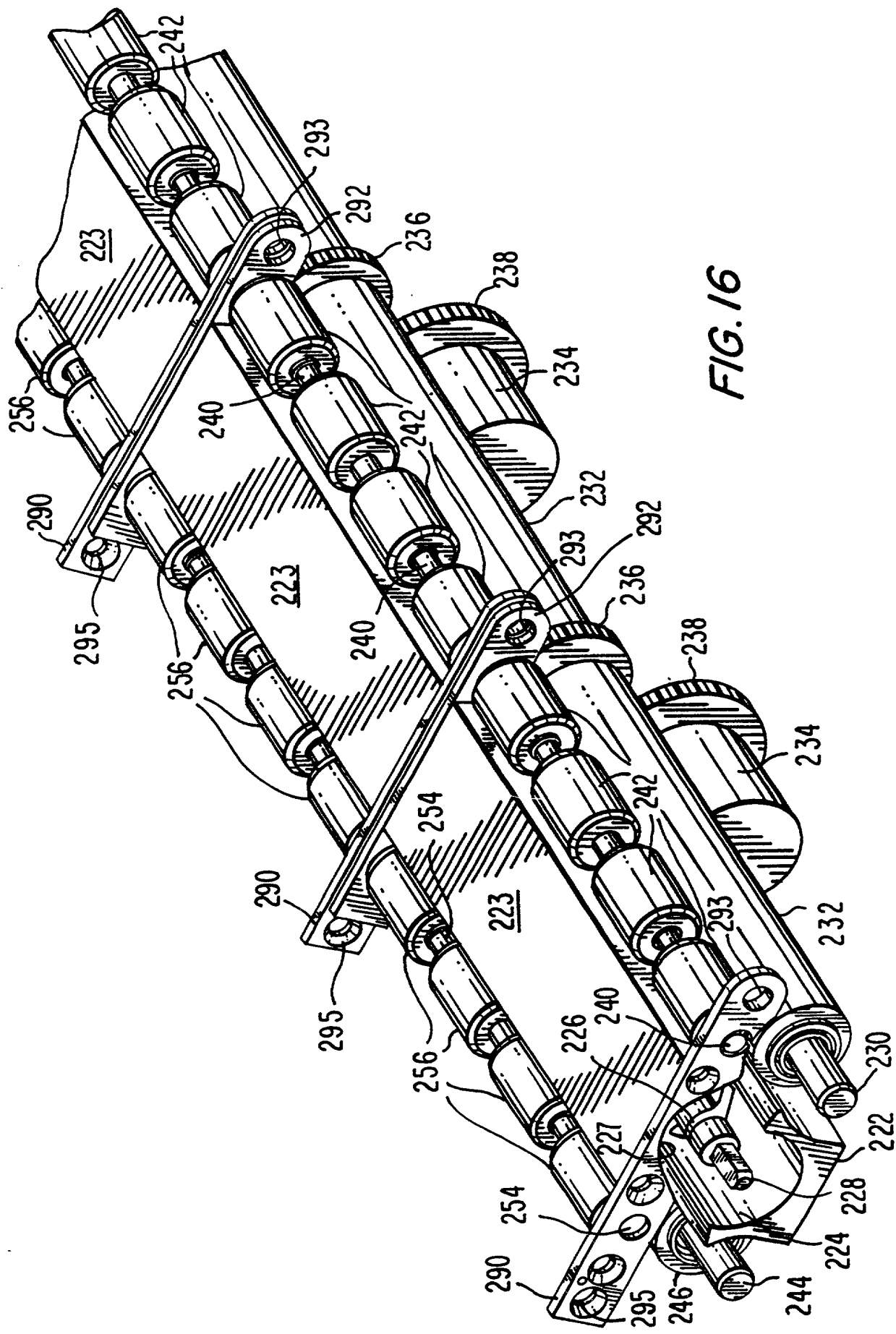
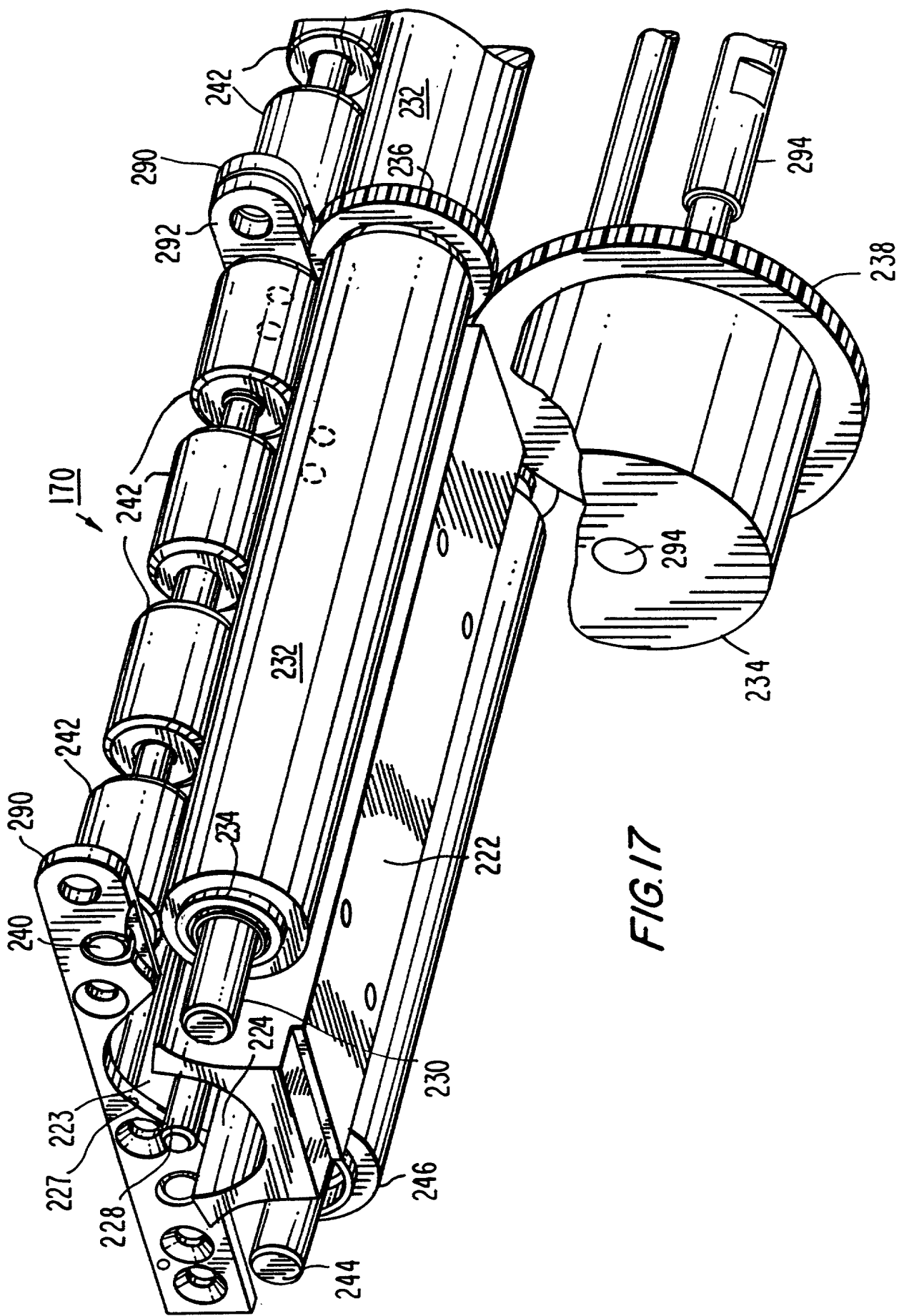


FIG. 16



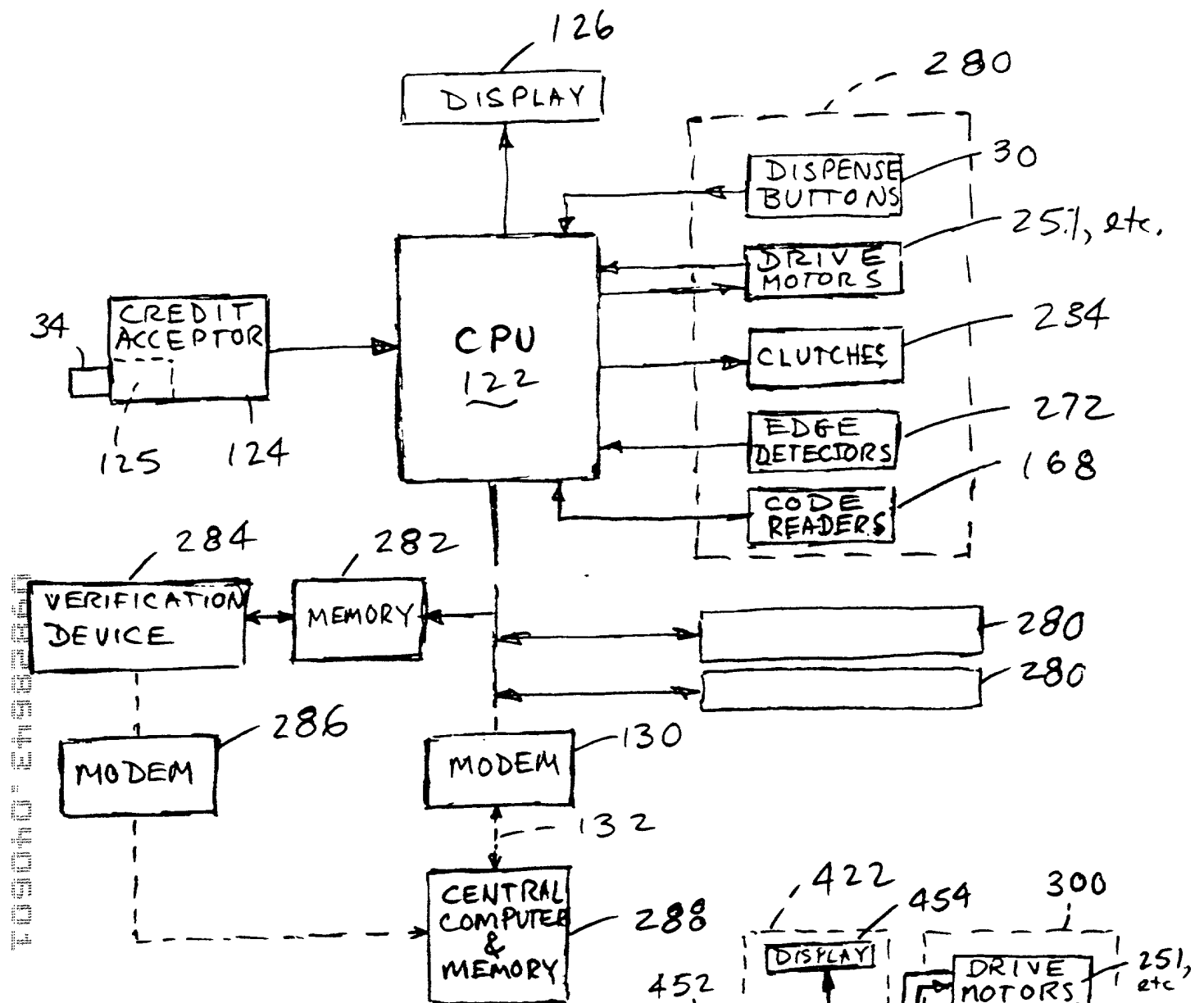


FIG. 18

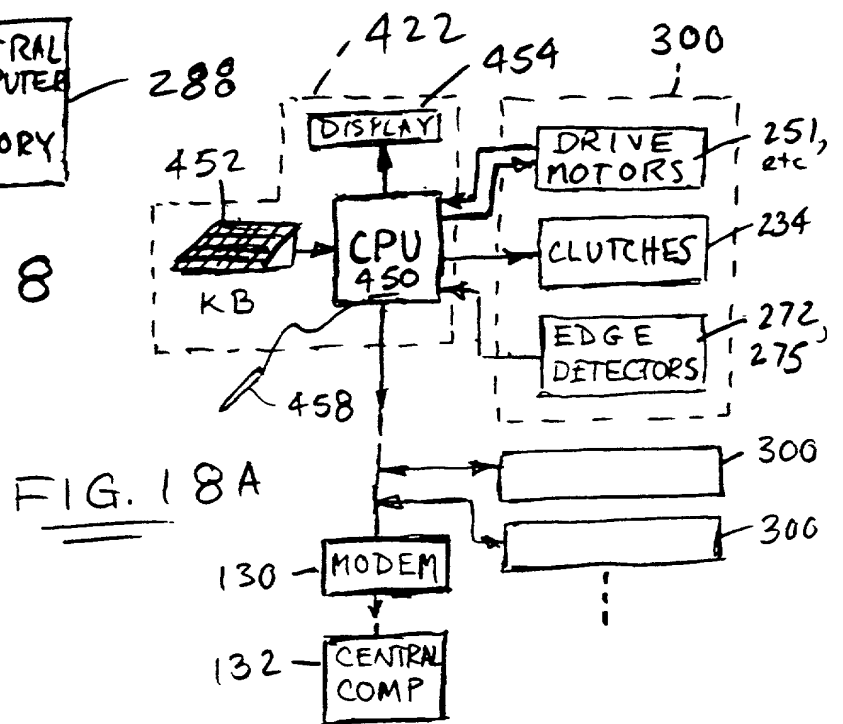


FIG. 18A

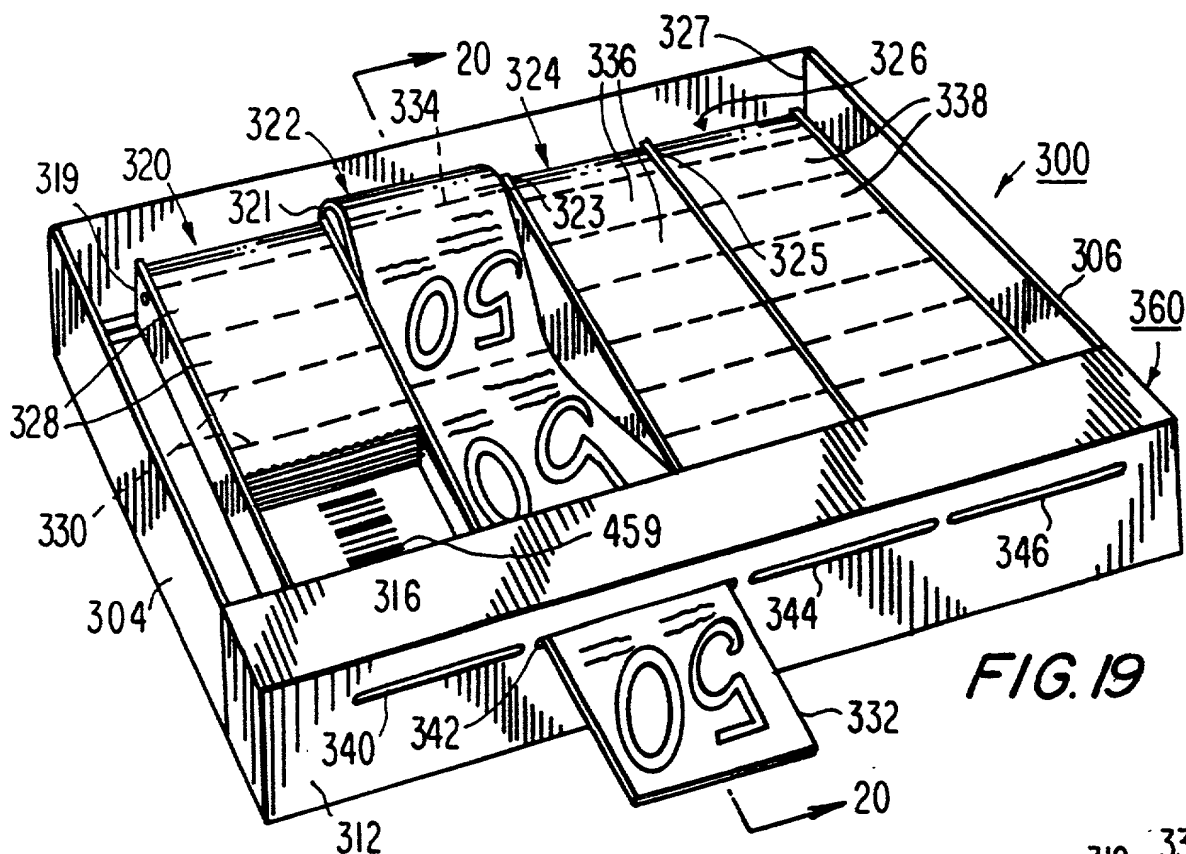


FIG. 19

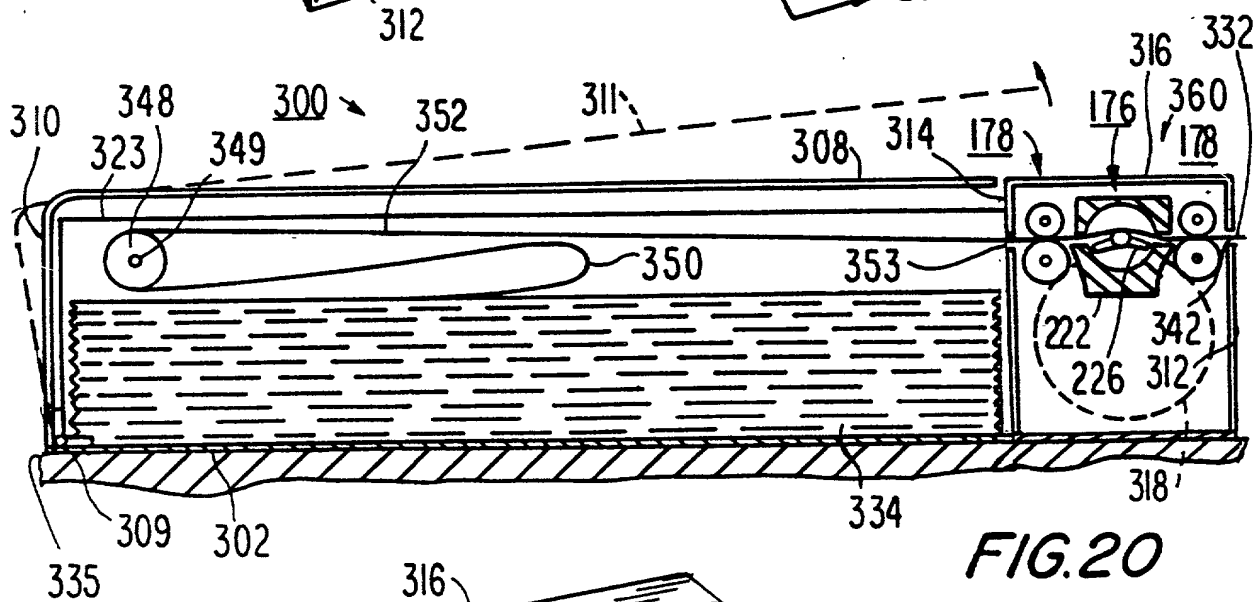


FIG. 20

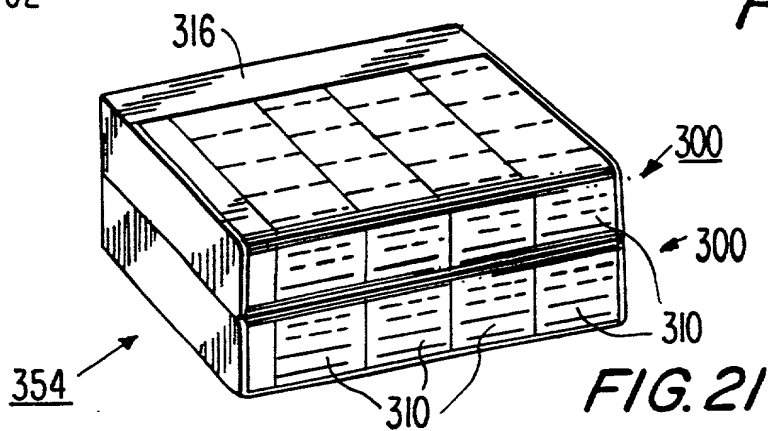


FIG. 21

12/13

FIG. 23

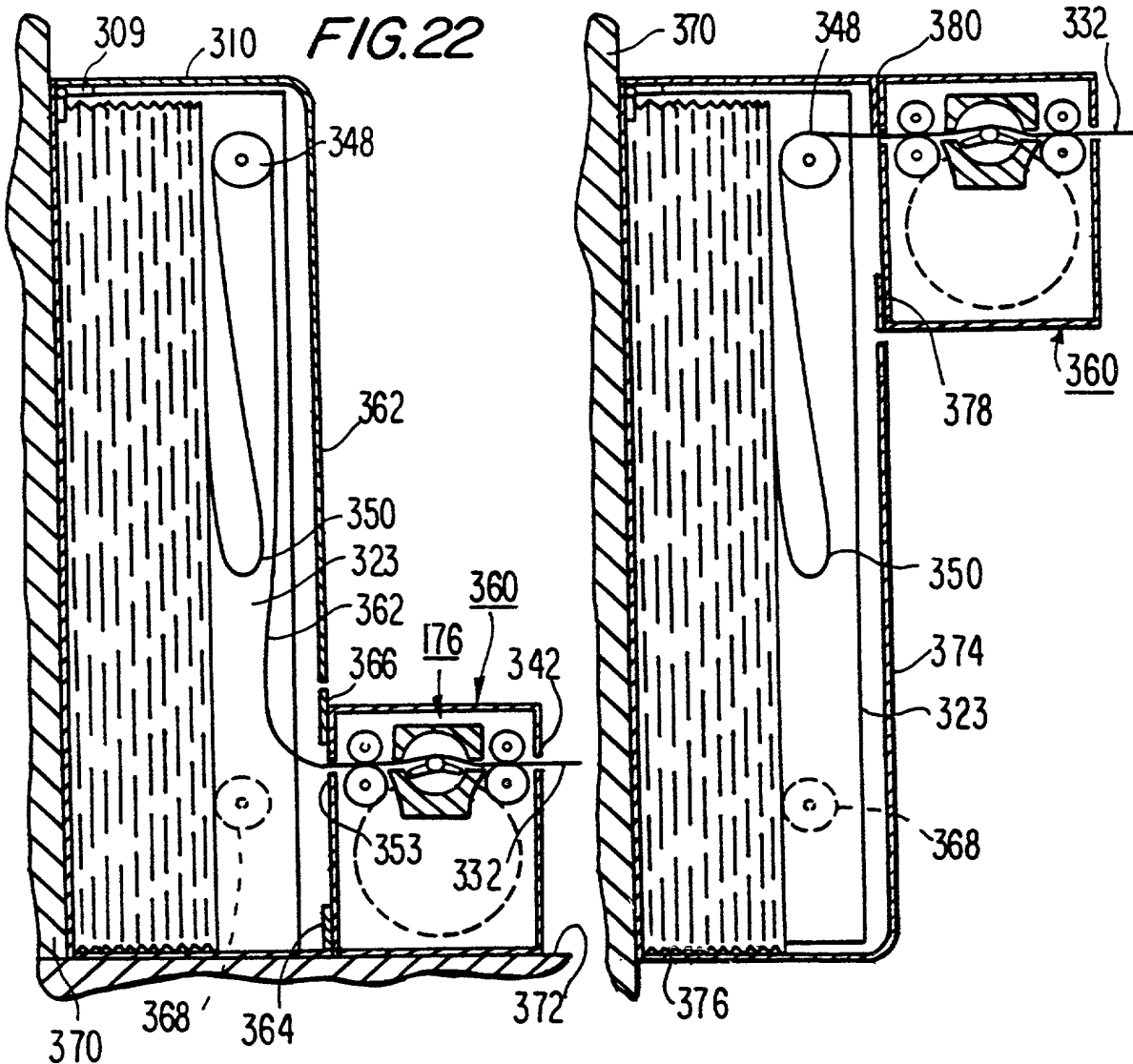
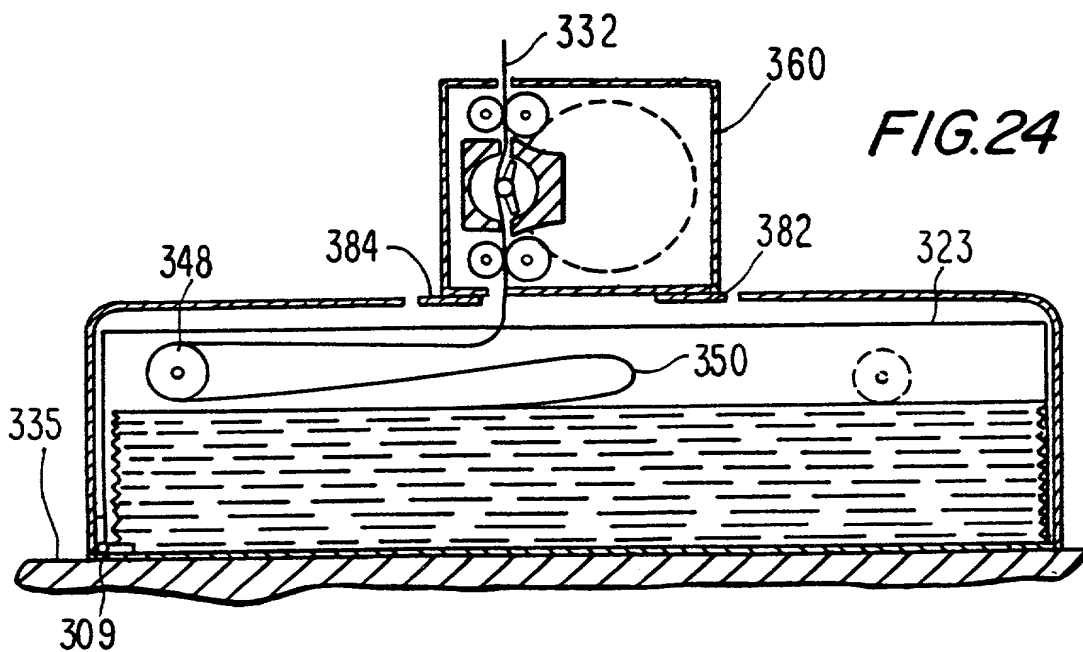


FIG. 24



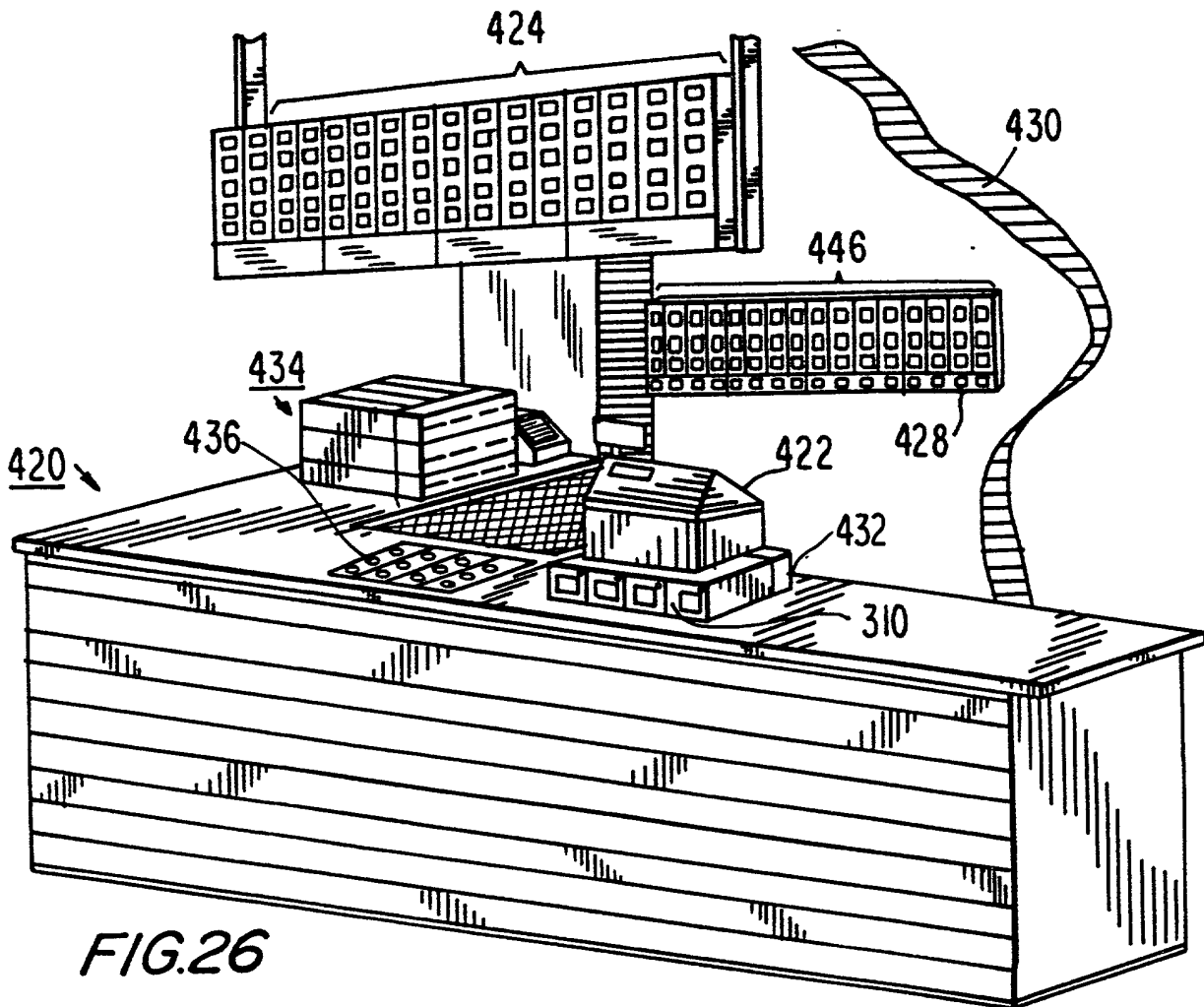
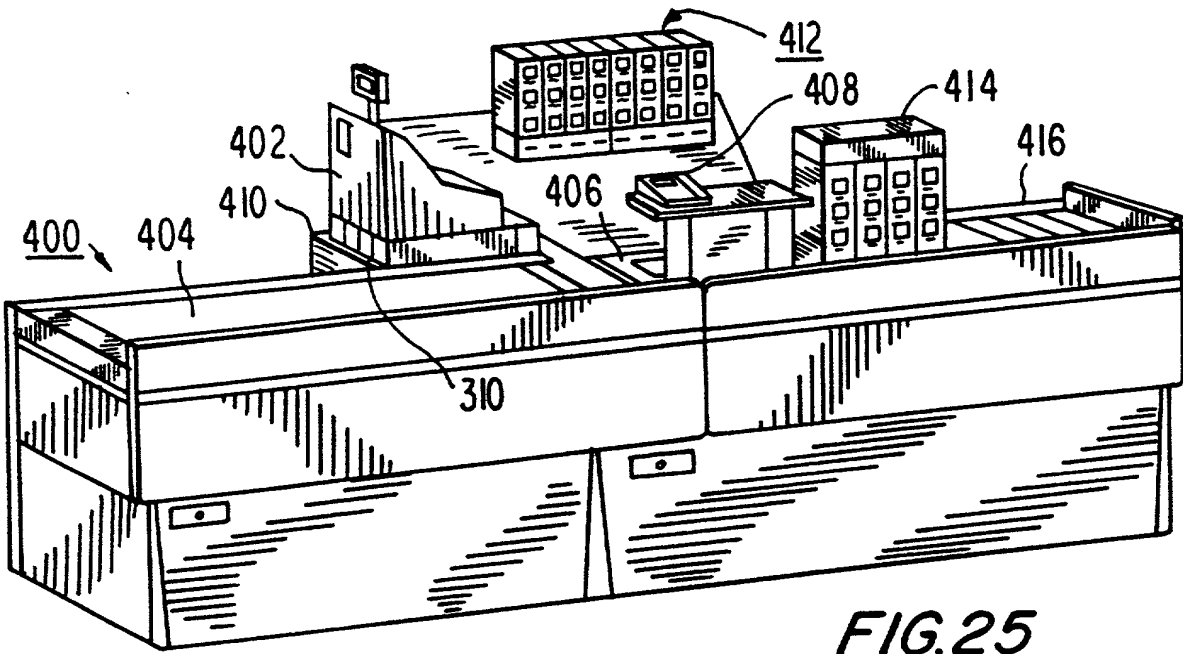




FIG. 29

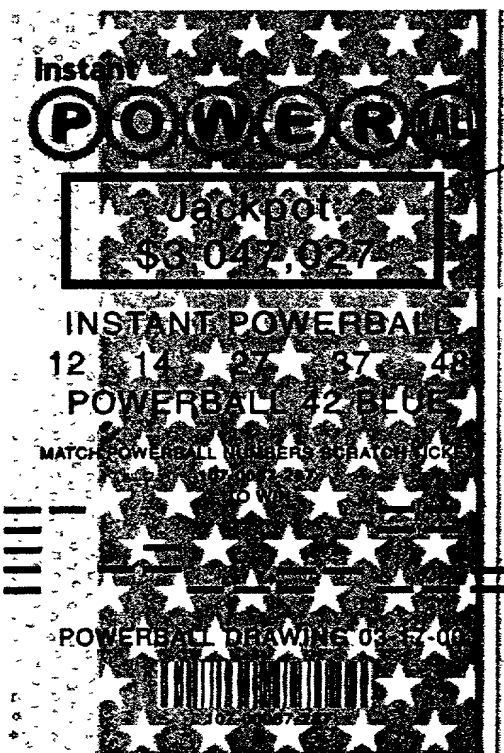


FIG. 30



FIG. 31

PROGRESSIVE JACKSON DATA FLOW OF MULTI-STATE WIDE AREA NETWORK

